

# ゼオライトによるアンモニア除去における吸着・再生等温線について

東北大学工学部 学生員 玉川 純  
東北大学工学部 正員 佐藤 敏久  
東北大学大学院 学生員 内田 晴敏

1.はじめに ゼオライトによるアンモニア性窒素除去に関する数多くの研究報告は、イオン交換反応を広義の吸着現象としてとらえ、その平衡関係を吸着等温線で表わし、一般に、フロイントリッヒ型に従うとしている。しかし、式中の係数や指標に関する定義を曖昧にしている例が多いようである。本報では、バッチ実験で得たNa<sup>+</sup>型ゼオライトのNH<sub>4</sub><sup>+</sup>イオンに関する吸着・再生等温線を、ゼオライトのイオン交換特性を示す選択係数ならびに交換等温線に関連づけて考察してみた。

2.実験方法および実験条件 実験装置は暗いに攪拌棒を取り付け、約20°Cに設定した恒温水槽内に設置し、回転速度100 rpmで攪拌した。実験に用いたゼオライトとその諸元は表-1に示す通りである。吸着実験は設定量のNa<sup>+</sup>型ゼオライトをアンモニア含有の水溶液2l中に添加して行った。その他の条件は表-2にまとめて示した。また、再生実験ではNH<sub>4</sub><sup>+</sup>含有量(4.0 mg-N/g)既知のゼオライトを各濃度に調整したナトリウム溶液2l中に添加して行った。なお、ナトリウム塩としてNa<sub>2</sub>CO<sub>3</sub>, NaHCO<sub>3</sub>, NaClの3種を用いた。その他の条件は表-3にまとめて示した。

## 3.実験結果および考察

### 3-1 選択係数とイオン交換等温線について 本実験条件のように1価付

ンビラシの交換反応の選択係数は、ゼオライト内および溶液内における交換可能な陽イオン中のNH<sub>4</sub><sup>+</sup>イオンの分率[(X<sub>N</sub>)<sub>r</sub>, (X<sub>N</sub>)<sub>s</sub>]により、次式(1)のように示される。

$$r = \frac{(X_N)_r \cdot (1 - (X_N)_s)}{1 - (X_N)_r \cdot (X_N)_s} \quad (1)$$

上式を(X<sub>N</sub>)<sub>r</sub>について整理すると

$$(X_N)_r = \frac{r \cdot (X_N)_s}{1 + (r-1)(X_N)_s} \quad (2)$$

となる。次に式(2)を吸着量Q<sub>e</sub>(mg-N/g)と平衡NH<sub>4</sub><sup>+</sup>イオン濃度C<sub>ie</sub>(mg/l)の関係式に変形する。ただし、(X<sub>N</sub>)<sub>r</sub> = Q<sub>e</sub>/4·[CEC], (X<sub>N</sub>)<sub>s</sub> = C<sub>ie</sub>/4·M<sub>c</sub> [CEC] : 陽イオン交換容量(mg/g), M<sub>c</sub> : 平衡時における溶液中の陽イオン濃度(mg/l)を用いる。まず、r=一定のときには、式(2)は

$$Q_e = \frac{K C_{ie}}{1 + K C_{ie}} \quad (3)$$

$$\{ K = r \cdot [CEC]/M_c, K' = (r-1)/4 \cdot M_c \}$$

となり、ラングミュア式と同型となる。一方、r=一定であるか、(X<sub>N</sub>)<sub>r</sub>が次式(4)のような(X<sub>N</sub>)<sub>s</sub>の指指数型で整理できる場合には、式(2)は式(5)のように表わされる。

$$(X_N)_r = (X_N)_s^{\alpha} \quad (4)$$

$$Q_e = K'' \left( \frac{C_{ie}}{4 \cdot M_c} \right)^{\alpha} = K'' (X_N)_s^{\alpha} \quad (5) \quad \{ K'' = 14 \cdot [CEC] \}$$

この式は、フロイントリッヒ式と同型である。

3-2 吸着等温線について 実験データを(X<sub>N</sub>)<sub>r</sub>と(X<sub>N</sub>)<sub>s</sub>との関係についてプロットしたのが図-1である。ただし、(X<sub>N</sub>)<sub>r</sub>の値はschöllenger法の修正法により実測したCEC値(1.80(mg/g))を用いて求めた。図から、選択係数rは一定ではなく、(X<sub>N</sub>)<sub>r</sub>は(X<sub>N</sub>)<sub>s</sub>に関する指指数型で近似できることがわかった。しかし、式(4)で示したような関係が成立するためには、CEC値を実測値よりも小さくする必要があった。一般に、CECの測定値は、ゼオライトの前処理法、

表-1 使用ゼオライトの諸元	
ゼオライトの種類	秋田県産クリノブチコライト系 Na <sup>+</sup> 型ゼオライト
初期吸着量	吸着実験 0 再生実験 4.0 (mg-N/g)
粒子直径	1.00 ~ 1.19 (mm)
充填密度	1.47 (g/cm <sup>3</sup> )
真密度	2.38 (g/cm <sup>3</sup> )

表-2 吸着実験条件

実験番号	初期NH <sub>4</sub> -N 濃度 (mg/l)	初期NH <sub>4</sub> -N 当量濃度 (mg/l)	初期pH	
			アルカリ剤 種類	添加量 (g/2 l)
1	10.1	0.72	7.27	
2	4.87	0.33	7.75	
3	28.3	1.45	7.84	
4	49.5	3.54	8.26	
5	19.3	1.38	9.42	

表-3 再生実験条件、その他の

実験番号	アルカリ剤 種類	Na <sup>+</sup> 濃度 (mg/l)	ゼオライト 添加量 (g)	pH	
				調査時	平衡時
1	Na <sub>2</sub> CO <sub>3</sub>	0.55	5.2	0.53~20.1	10.6~10.5
2	Na <sub>2</sub> CO <sub>3</sub>	0.55	5.2	1.03~23.0	8.3~8.0~6.3
3	NaHCO <sub>3</sub>	0.55	3.3	1.01~20.1	9.3~9.0~8.4
4	NaHCO <sub>3</sub>	0.22	1.3	1.99~29.4	9.3~8.7~9.2
5	NaCl	1.17	10	0.73~23.4	5.2~5.6~5.0
6	NaCl	2.34	20	0.70~46.8	5.4~5.6~5.5
7	NaCl	3.51	30	2.19~50.0	5.5~5.5~5.5
8	NaCl	5.85	50	1.74~34.8	5.3~5.4~5.6
9	NaCl	11.70	100	2.62~23.8	5.5~5.5~5.5

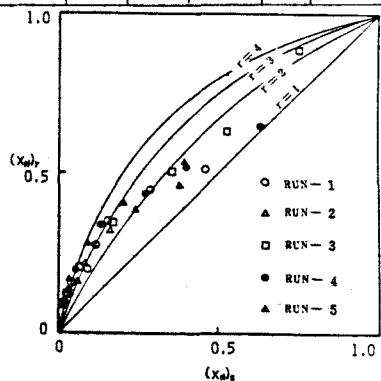


図-1 吸着実験によるイオン平衡等温線

測定方法、測定条件などにより変動する。したがって、それぞれの実験系に適合する測定法を採用して CEC 値を求めるという考え方もある。しかし一方では、一般性を失われる危険性があることから、本バッチ実験から得に吸着等温データを次のように解釈した。まず、本実験で得た Na 型ゼオライトの CEC 値 (1.80 meq/g) は文献(3)で報告された同試料の CEC 値 (1.76 meq/g) とほぼ一致しているので、この値を正味の陽イオン交換容量 (NCEC) と定義する。次に、式(4)の関係式が成立するように修正係数  $F$  ( $0 < F < 1$ ) を導入して、本バッチ実験系で得たデータから得られた CEC を見かけの陽イオン交換容量  $[A\text{CEC}] (= F \cdot [N\text{CEC}])$  と定義する。このような考え方から、式(5)を変形すると次のようになる。

$$Q_e = K'' \left( \frac{C_{ie}}{14 \cdot M_e} \right)^{\alpha} = K'' (X_{N^+})^{\alpha} \quad \dots \dots \quad (5')$$

$$\{ K'' = 14 \cdot F \cdot [N\text{CEC}] = 14 \cdot [A\text{CEC}] \}$$

式(5')より、 $K''$  は見かけの陽イオン交換容量を当量単位から質量単位に換算した値を示している。また、 $\alpha$  の値はゼオライトの  $\text{NH}_4^+$  イオン選択性を示すパラメータであり、 $\alpha$  が 0 に近づく程高い選択性を持つことになる。式(5')に基づき実験データを整理し、フロインドリッヒ直線式で示したのが図-2 である。[A CEC] 値は、1.59 (meq/g) であった。

### 3-3 再生等温線について 吸着実験と同様に(6)

$(X_N^+)_r$  の関係を再生系について示したのが図-3 である。 $(X_N^+)_r$  値は、使用した  $\text{NH}_4^+$  型ゼオライトの CEC (1.55 meq/g) により求めた。図から、実験値は必ずしも選択係数  $\delta' (= \frac{1}{\alpha})$  が一定となる領域内にはない。しかし、平衡吸着量 (あるいは残存量) と  $(X_N^+)_r$  の関係はラングミア型 (図-4) とフロインドリッヒ型 (図-5) で比較すると、 $\delta' = 1$  として得られるラングミア型の方がよく再生等温線を表わしているようである。これは、図-3 に示したように、 $\delta'$  値が多少変動しても  $(X_N^+)_r$  および  $(X_N^+)_s$  の受け影響が吸着量と比べて小さいためであると思われる。

4. 終わりに 以上のように、ゼオライトのイオン交換特性を示す選択性および交換等温線の関係から、まず、吸着等温線は式(5')で示したように、陽イオン交換容量と選択性を示す指標を含んだフロインドリッヒ型で近似できることを明らかにした。また、再生等温線は選択性が一定のときにはラングミア型で近似できることを示した。ゼオライトを用いたアンモニア除去プロセスは通常、通水・再生が繰り返し行われる。したがって、再生の程度あるいは再生過程におけるゼオライト粒子の構造破壊等によるアンモニア除去能の低下が考えられ、これらを考慮した吸着等温式を検討する必要がある。また、本報で示した再生等温線は  $(X_N^+)_r$  と  $(X_N^+)_s$  に関する狭い領域でしか考査していないので、より一般化するために、さらに実験を重ねて検討する必要がある。これらは、今後の課題とした。

### <参考文献>

- (1) 「イオン交換 - 理論と応用への手引」 黒田等訳・丸善 1981.
- (2) 「粘土鉱物のイオン交換容量測定法について」 堀岡正和 工業用水 第133号
- (3) 「ゼオライトによるアンモニア性窒素の除去」 土木研究所資料 第1490号

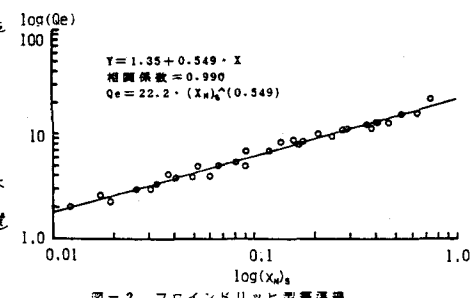


図-2 フロインドリッヒ型等温線

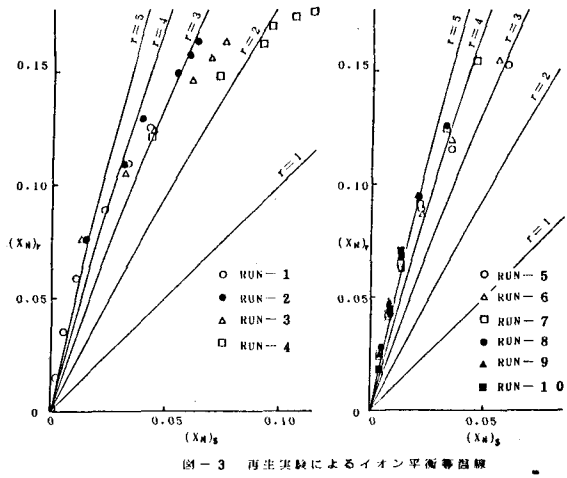


図-3 再生実験によるイオン平衡等温線

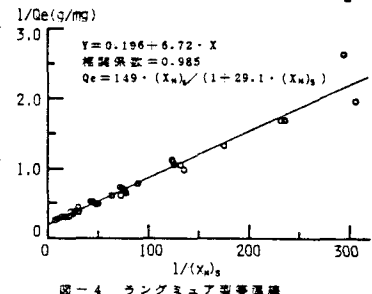


図-4 ラングミア型等温線

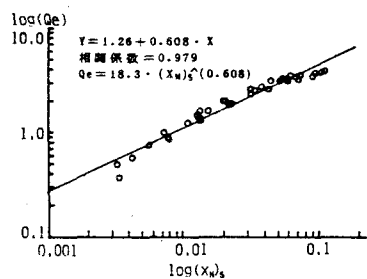


図-5 フロインドリッヒ型等温線